文章编号: 0253-2409(2014)01-0031-06

CaCl,添加对热解煤中汞析出规律影响的实验研究

董 勇,喻 敏,王 鹏,张梦泽,睢 辉,崔 琳,张立强,徐夕仁,马春元

(山东大学 燃煤污染物减排国家工程实验室, 山东 济南 250061)

摘 要: 在程序升温热解反应装置上,研究了低氯煤中添加不同氯含量(质量分数 0.1% 0.3% 0.5%)的 $CaCl_2$ 对煤热解过程中汞析出规律的影响。实验结果表明,温度是影响汞析出的关键因素;随着氯添加量的增加, Hg^{2+} 析出比例呈上升趋势,且汞的最佳析出温度降低,汞的释放率也有所降低;随着热解气氛中 O_2 比例的增加, Hg^{2+} 比例也略有增加;较高的升温速率能加快汞的释放,也能提高 Hg^{2+} 的比例。低氯煤中添加氯化钙能够强化单质汞的氧化。

关键词: 汞; 煤; CaCl₂; 热解

中图分类号: TQ534 文献标识码: A

Experimental study on mercury release behavior during coal pyrolysis with calcium chloride addition

DONG Yong, YU Min, WANG Peng, ZHANG Meng-ze, SUI Hui, CUI Lin, ZHANG Li-qiang, XU Xi-ren, MA Chun-yuan

(National Engineering Laboratory for Coal-fired Pollutants Emission Reduction, Shandong University, Jinan 250061, China)

Abstract: Mercury release and speciation behavior during coal pyrolysis with the addition of calcium chloride in different chlorine contents of 0.1%, 0.3% and 0.5% in mass was studied in a temperature-programmed tube furnace. The concentration of gaseous mercury was monitored online with an online mercury analyzer. The results show that the temperature is a key factor for the mercury releasing during coal pyrolysis. With the rising of calcium chloride addition in coal, the percentage of Hg^{2+} increases, while the temperature of maximum mercury releasing and the release of total mercury decrease. The percentage of Hg^{2+} also increases to some degrees with the increase of O_2 percentage raised. Higher heating rate can promote the mercury release in coal and enhance the proportion of Hg^{2+} in flue gas. The study indicates that the calcium chloride addition into the low-chlorine coal can enhance the oxidation of Hg^0 .

Key words: mercury; coal; calcium chloride; pyrolysis

煤中汞经燃烧后都是以单质态汞(Hg⁰)形式挥发到烟气中^[1~3],随着烟气冷却到 600 ℃以下 Hg⁰ 开始与烟气中其他成分发生反应转化为二价汞(Hg²⁺)和颗粒态汞(Hg^P)。Hg²⁺和 Hg^P容易被常规污染物控制设备脱除,Hg⁰不易脱除,进入大气并污染环境。因此,如何将 Hg⁰转化为 Hg²⁺是提高脱汞率的关键。

氯元素被认为是影响 Hg⁰氧化和转化的重要因素^[4,5]。现有研究表明,煤中氯含量和烟气中 Hg²⁺和 Hg^P有非常密切的关系^[6~8]。煤中氯含量越高,烟气中 Hg²⁺和 Hg^P就越多。但是很多煤中的氯含量普遍较低,为此,世界各国学者通过额外增加氯的方式来增强汞的控制,包括烟气中注入 HCl、Cl₂等^[5],用含氯物质改性吸附剂^[9~11]以及煤中添加含氯物质^[12,13]等方法取得较好效果。

对于一些低氯煤来说,尽管煤中氯元素含量很低,但是煤中氯元素经石灰石-石膏湿法脱硫工艺后都以 CaCl₂的形式在脱硫废水中富集^[14,15],常规处理工艺复杂且成本较高。本研究提出循环利用脱硫废水中的 CaCl₂来促进汞的形态转化的方法,促进燃用低氯煤时汞的形态转化及脱除,在气氛保护横式管式炉热解实验台上进行添加 CaCl₂对煤热解时汞析出规律的实验研究,主要考察气氛、氯添加量和加热速率等对汞析出规律的影响,研究对汞控制技术的研发有重要的指导意义。

实验部分

1.1 热解实验系统及测量方法

1.1.1 热解实验系统

研究中采用的横式气氛保护管式电加炉热解实验系统示意图见图 1。反应器为内径 60 mm、总长

收稿日期: 2013-04-02; 修回日期: 2013-07-26。

基金项目: 国家自然科学基金(51176103)。

联系作者: 董勇, 男, 教授,主要从事燃烧污染物控制理论与技术研究。Tel: 0531-88399371, Fax: 0531-88395877, E-mail: dongy@sdu.

1000 mm的石英管, 硅碳棒作为加热元件。实验开始前,分别向炉内通入预定气氛 $(N_2,0\%,6\%O_2)$ 的气体,排尽炉内的空气。气体总流量为 3 L/min, 吹扫 10 min。将 2 g(精确到 0.000 1 g)煤样置于石英舟内,平铺在石英舟底,用推杆将石英舟推至反应器恒温区内。按照设定程序升温速率开始实验,将

炉内温度由室温升至反应终温 1000 \mathbb{C} 。在反应终温下煤样经过预设的 30 min 停留时间后,实验结束。随后立即将载有样品的瓷舟由推杆快速移至反应器的冷端,在 \mathbb{N}_2 流中冷却。热解气相产物由在线汞测仪系统实时测得。

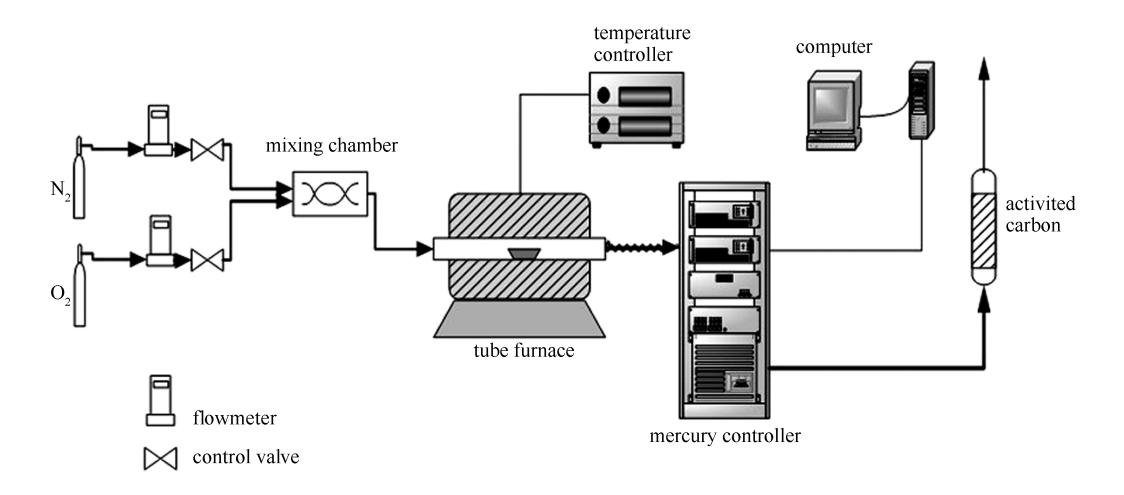


图 1 热解煤实验系统示意图

Figure 1 Diagram of experimental setup of coal pyrolysis

1.1.2 测量方法

煤中汞含量由美国 CEM 公司生产的微波消解仪(型号 MARSTM)消解,然后用原子荧光仪测得;煤中氯含量采用氧弹燃烧- $(NH_4)_2$ CO₃ 溶液吸收^[16],然后采用由中国戴安公司生产的 ICS-900 离子色谱仪测得。热解气相产物中的汞浓度(μ g/m³)由美国 Thermo-Fisher scientific 公司生产的 CEMS i 系列汞在线分析仪实时测得,该仪器能实时监测气体中汞的气态产物,包括 Hg^0 、 Hg^{2+} ,两项之和称为总汞(Hg^1),汞浓度自动记录频率为

1 min/次,数据传输至计算机。

1.2 实验煤样制备及热解过程

选取原煤的工业分析和元素分析见表 1。该煤中汞的平均含量为 0. 351 1 μg/g,高于中国煤中平均汞含量 0. 22 μg/g^[17];氯元素含量 0. 043 1% (431 μg/g),小于 0. 05%,属于特低氯煤^[18]。煤样采用磨煤机磨碎后经逐级筛分至 160 目以下,在 60 ℃烘箱内干燥 2 h,装瓶密封并放置于干燥皿中备用。

表 1 煤的工业分析和元素分析

Table 1 Proximate and ultimate analyses of coal

Proximate analysis w/%				Ultimate analysis $w_{\rm ad}/\%$						/10 ⁻⁶
$M_{ m ad}$	$A_{ m ad}$	$V_{ m daf}$	FC _{daf}	О	N	С	Н	S	Cl	$w_{\rm Hg}/10^{-6}$
1.23	17.73	15.18	65.86	1.9310	1.1000	71.7900	3.4290	2.7900	0.043 1	0.3511

混煤指原煤样中添加了不同氯质量分数的 CaCl₂后的煤样。混煤中添加的氯含量分别为 0.1%、0.3%和0.5%。为了保证 CaCl₂在煤中混得均匀些,先称取定量的煤,再称取需要量的 CaCl₂,先在研钵里尽量混匀,再把混煤转移到纸上,继续混合,进行十六等份后转入16个称量瓶中以备用。实验时,分别从16个称量瓶里取 0.125 g 然后混合,每个混煤样总重为 2 g(精确到 0.000 1 g)。

热解 过程 指 称 取 的 煤 样 在 总 载 气 流 量 3 000 cm³/min、热解终温 1 000 ℃条件下,在某一热解气氛、加热速率下的热解过程。

1.3 数据处理方法

热解过程中气态汞浓度由在线汞测仪实时监测,并通过计算机自动记录数据。采用 origin 数据处理软件对实验数据进行整理。利用 origin 的自带积分功能将汞浓度随时间变化曲线进行积分,得出

整个过程汞析出总量。计算公式如下:

无论析出总量还是瞬时析出浓度都有:

$$Hg^{t} = Hg^{0} + Hg^{2+}$$
 (1)

实际析出汞质量(μ g)=时间与汞析出浓度的曲线积分(μ g/m³)×3 L/min×0.001×273/300 (2)

总汞释放率 $\eta_{\rm T}(\%)$ = 总汞析出总质量/原子荧光测得煤中汞总质量×100% (3)

 Hg^{2+} 析出比例,% = Hg^{2+} 实际析出质量/该工况 下 Hg^{t} 析出质量×100% (4)

2 结果与讨论

2.1 温度对煤热解中汞析出规律的影响

在程序升温 $10 \text{ C/min}, 6\% \text{ O}_2 + 94\% \text{ N}_2$ 气氛条件下原煤总汞析出浓度随温度的变化曲线见图 2。由图 2 可知,温度是影响汞析出的关键因素。低于 200 C,煤中的汞几乎都不析出。高于 200 C后,汞开始缓慢析出,到 350 C时开始剧烈析出,在 430 C左右时 汞 析 出 最 快,析 出 的 总 汞 浓 度 高 达 13 µg/m^3 。之后开始剧烈下降,600 C以后析出量已经很少。由此可见,尽管汞是挥发性很强的一种痕量元素,但是煤中汞在超过 200 C才开始析出,且析出最佳温度是在 430 C左右。

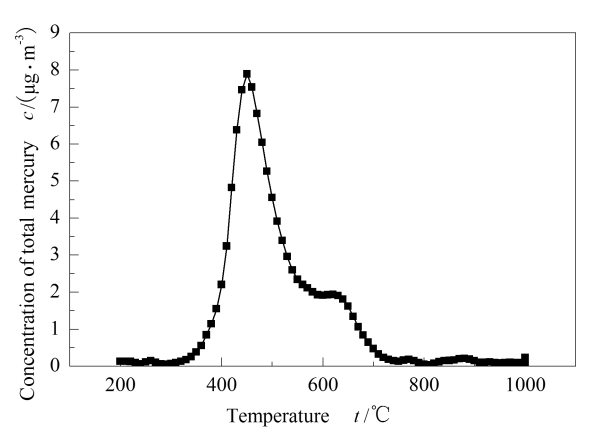


图 2 原煤中总汞的析出浓度随热解温度的变化 Figure 2 Total mercury release behaviors of coal under different temperatures

由图 2 还可知,在 430 ℃时有个波峰,500 ℃左 右有另一个小波峰,这说明该煤中汞有两种或两种 以上的存赋形态。600 ℃以后汞的析出很少,可能 是由于大部分的汞已经析出,同时这主要是由于热 解时半焦中的固定炭对汞的吸附和圈闭作用限制了 汞的溢出[1]。

上述工况下汞的析出形态随温度的变化见图 3。由图 3 可知,各形态汞随温度析出的规律基本一致,都是从 200 ℃左右开始析出,400 ℃左右析出最

快,同时 600 ℃以后几乎不再析出。由图 3 还可知, Hg^0 占总汞析出的绝大部分, Hg^{2+} 的比例很小。通过曲线积分计算可以得出 Hg^{2+} 析出总量占总析出量的 21.55% 左右,其余全部为 Hg^0 。可见在该保护气氛下, Hg^0 是热解煤中汞的主要析出形态。

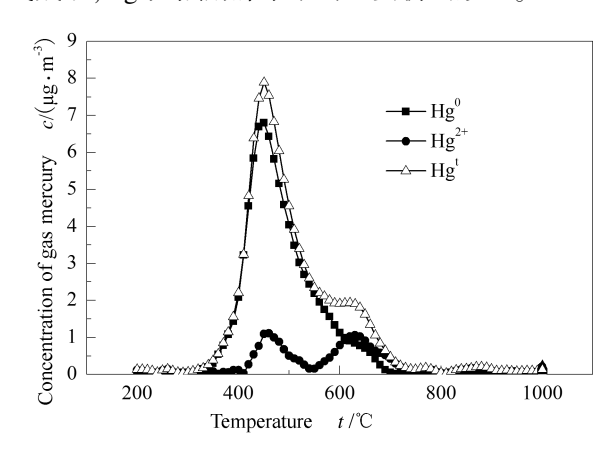


图 3 不同形态汞浓度随温度的析出规律 Figure 3 Concentration of different mercury species during coal pyrolysis under different temperatures

2.2 氯添加量对煤热解中汞析出规律的影响

图 4 为氯添加量对总汞析浓度的影响。由图 4 可知,在程序升温 10° C/min、6% O₂+94% N₂气氛条件下,随着煤中氯添加量的提高,汞的最大析出瞬间总汞浓度略有提高,无氯添加时的最快析出浓度为 9 μ g/m³左右,而氯添加量为 0.1%、0.3% 和0.5%的汞最高析出浓度分别为 11 μ g/m³、11.8 μ g/m³、13.5 μ g/m³,呈增加趋势。还可以发现,随着氯添加量的增加,汞最快析出的温度略有降低,即汞的最快析出温度提前了,这可能是因为氯化钙起到催化剂的作用,促进汞的析出。

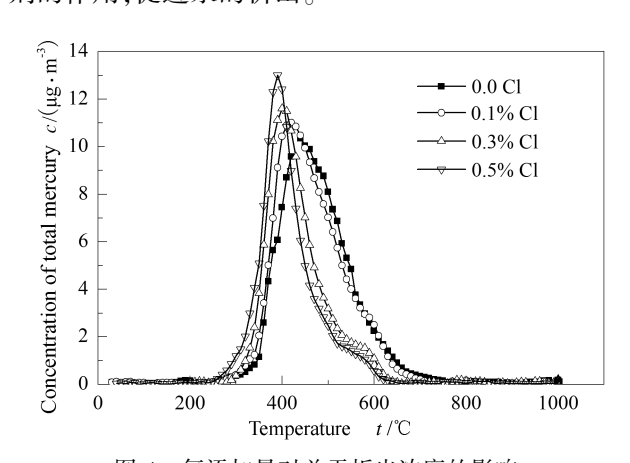


图 4 氯添加量对总汞析出浓度的影响 Figure 4 Total Hg release behaviors of coal under different chlorine addition

汞的形态分布随氯添加量的影响见图 5。由图 5

可知,当煤中没有添加氯时,Hg²+占总汞析出比例为21.55%,0.1% 氯添加量时析出的 Hg²+比例为26.87%,较原煤有一定程度提高。0.3%和0.5%的氯添加量时Hg²+为34.64%、39.97%,相对0.1%氯添加量时有明显的提高。这说明 CaCl₂的添加能在一定程度上提高 Hg⁰向 Hg²+的转化,CaCl₂可能在其中有催化氧化的作用[13]。此外,在实验中采用傅里叶红外在线烟气分析仪对热解气成分进行了测量,结果表明,CaCl₂添加后,热解烟气中的 HCl 显著增加。这可以为 CaCl₂添加促进煤中汞转化提供一定依据。但是氯-汞机理复杂,需要进行更深入的研究工作。

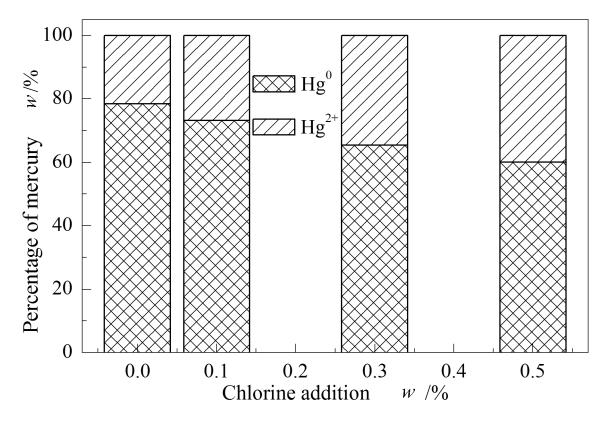


图 5 氯添加量对汞形态分布的影响 Figure 5 Percentages of Hg⁰ and Hg²⁺during coal pyrolysis under different chlorine addition

对不同氯添加量的煤热解中总汞释放率进行比较发现,随着氯添加量的提高,总汞释放率略有降低,具体见图 6。不添加氯的条件下,总汞释放率94%,氯添加量分别为 0.1%、0.3% 和 0.5% 时的总汞释放率分别为 85%、80% 和 77%,呈下降趋势。

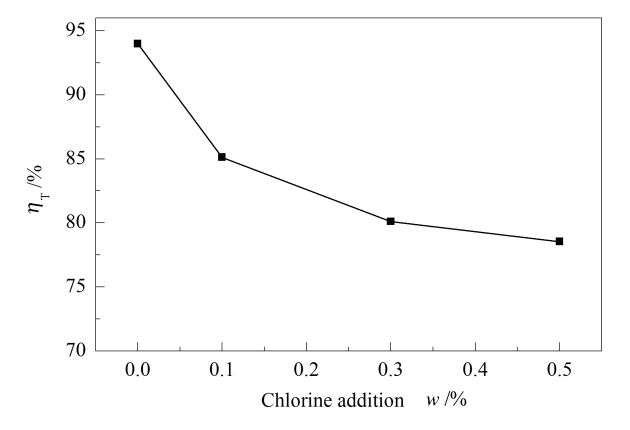
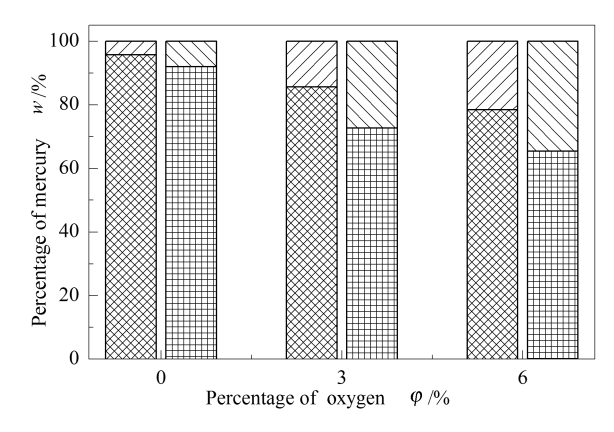


图 6 氯添加量对煤热解中总汞释放率的影响 Figure 6 Hg release behaviors of coal under different chlorine addition

2.3 氧气对汞析出规律的影响

采用加热速率 10 ℃/min 进行实验,分别考察了 100% N_2 、3% O_2 +97% N_2 和 6% O_2 +94% N_2 气氛对煤中汞的析出形态和释放率的影响,具体见图 7。



由图 7 可知,纯 N_2 气氛下,原煤和混煤 Hg^{2+} 析 出比例仅为 4.215% 和 8.01%,而 3% O_2 时,析出的 Hg^{2+} 比例分别升高到 14.36% 和 27.36%,较纯 N_2 气氛有明显提高;6% O_2 时, Hg^{2+} 析出比例也分别升高到 21.55% 和 34.64%。同时还可以发现,随着 O_2 比例的增加混煤中 Hg^{2+} 提高幅度更明显。实验表明, O_2 在汞氧化中起着很重要的作用。纯 N_2 气氛下,总汞中 90% 以上都以 Hg^0 析出,但在 O_2 气氛下, Hg^{2+} 比例明显提高,这应该与气氛的还原性有关[19.20]。 N_2 气氛下煤中汞周围的气氛都是还原性的,释放的 Hg^0 也越多。而添加 $CaCl_2$ 后,在 O_2 参与下, $CaCl_2$ 可能部分发生分解形成 HCl,促进 Hg^0 的氧化。

图 8 为不同氧气气氛对总汞释放率的影响。由图 8 可知,纯 N_2 气氛下,总汞的释放率最高,随着 O_2 含量的增加,总汞释放率略降低。

2.4 加热速率对汞析出规律的影响

图 9 为不同加热速率对气态汞比例的影响。由图 9 可知,在 6% O_2 +94% N_2 气氛条件下,加热速率对 Hg^{2+} 析出比例也有重要的影响。对于混煤,在 5% /min的升温速率下, Hg^{2+} 比例为 14. 95%,比原煤同样工况下高出 4. 5%,在 10、15% /min 时,其比例分别提高至 34. 64% 和 38. 70%,相对原煤来说 Hg^{2+} 比例都有一定程度提高。该实验说明较快的加热速率能提高 Hg^{2+} 的析出比例。这可能是因为加

热速率的提高,使得煤样在管式炉内的停留时间减少,导致半焦中炭与气态中的 Hg⁰的还原反应有所降低,因此,Hg⁰的质量分数在一定程度上减少,Hg²⁺比例有所上升。同时,CaCl₂添加后,发生的均相或多相反应,强化了氧化效果^[13]。

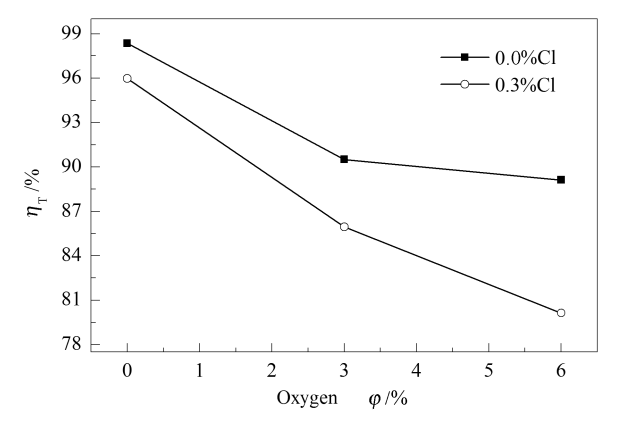


图 8 不同氧气气氛对总汞释放率的影响 Figure 8 Hg release behaviors of coal under different oxygen concentration

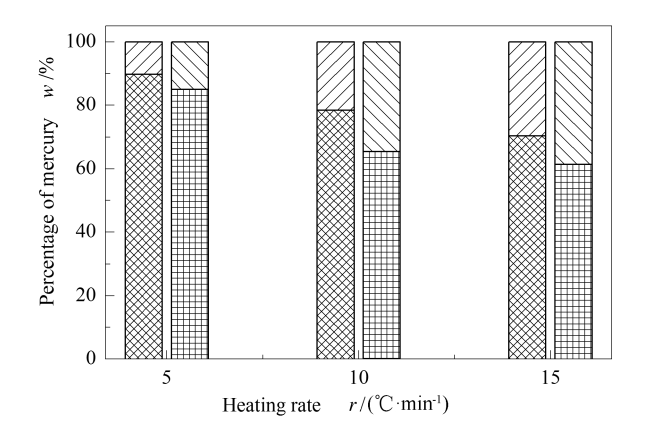


图 9 不同加热速率对气态汞比例的影响
Figure 9 Percentages of Hg⁰ and Hg²⁺ during coal pyrolysis under different heating rates

□□□: 0.0% Cl-Hg⁰; □□□: 0.0% Cl-Hg²⁺;
□□□: 0.3% Cl-Hg⁰; □□□: 0.3% Cl-Hg²⁺

图 10 为不同加热速率对总汞释放率的影响。由图 10 可知,对三种升温速率下总汞释放率进行比较发现,对于添加 0.3% 氯的煤,总汞释放率随着加热速率的增加而略有升高。总汞释放率受到煤热解过程中挥发分释放、煤中固定炭的氧化、残留物表面

结构变化以及汞在气固两相的反应等多种过程的影响,然而具体的作用机理需要通过进一步的实验进行验证和解释^[21,22]。

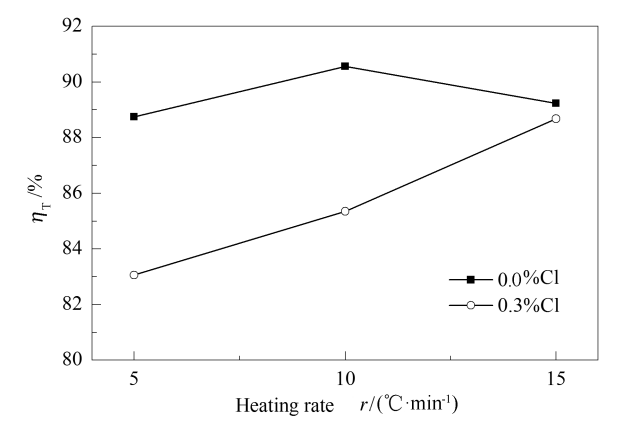


图 10 不同加热速率对总汞释放率的影响 Figure 10 Hg release behaviors of coal under different heating rate

需要说明的是,本研究对象为低氯煤,实验设计的氯添加浓度为 0.1% ~ 0.5%,浓度略高,但属于高氯煤的氯浓度范围之内,而且世界各国很多机组已经应用高氯含量(约 0.2%)的烟煤,没有出现严重的腐蚀^[13],通常认为,当煤中氯含量低于0.3%时,不会对锅炉造成明显腐蚀^[23]。因此,在低氯煤中适量添加氯不会引起很大的运行问题。

3 结 论

在煤的热解过程中, 汞的起始逸出温度为 200 $^{\circ}$, 300 $^{\circ}$ 420 $^{\circ}$ 是汞析出最快的温度窗口。析出的气态汞主要以 $^{\circ}$ 40 的形式存在, $^{\circ}$ 41 的比例很小。

往煤里添加 CaCl₂后,能提高热解气中 Hg²⁺的 比例,氯添加量越高,Hg²⁺的比例也越高;同时能够 使汞最佳析出温度降低。

氧气浓度也是影响煤中汞析出的重要因素,随着热解气氛中 O_2 质量分数的增加, Hg^{2+} 的比例增加;较快的加热速率能提高 Hg^{2+} 的比例,而且随着加热速率的提高,总汞释放率升高。

CaCl₂添加到低氯煤中后,能够在一定程度上强化烟气中 Hg⁰的氧化,有利于低氯煤汞的脱除。

参考文献

- [1] 郑楚光,张军营,赵永椿,刘晶,郭欣. 煤燃烧汞的排放及控制[D]. 北京: 科学出版社, 2010: 11. (ZHENG Chu-guang, ZHANG Jun-ying, ZHAO Yong-chun, LIU Jing, GUO Xin. Emission and control of mercury from coal combustion [D]. Beijing: Science Press, 2010: 11.)
- [2] TOOLE-O'NEIL B, TEWALT S J, FINKELMAN R B, AKERS D J. Mercury concentration in coal-unraveling the puzzle [J]. Fuel, 1999, 78(1): 47-54.
- [3] 任建莉,周劲松,骆仲泱,岑可法. 煤中汞燃烧过程析出规律试验研究[J]. 环境科学学报,2002,22(3):289-293.

- (REN Jian-li, ZHOU Jing-song, LUO Zhong-yang, CEN Ke-fa. Experimental study of mercury release behaviors in coal combustion [J]. Environmental Science & Technology, 2002, 22(3): 289-293.)
- [4] TAN Y, MORTAZAV I R, DUREAU B, DOUGLAS M A. An investigation of mercury distribution and speciation during coal combustion [J]. Fuel, 2004, 83(16); 2229-2236.
- [5] CHEN L, DUAN Y F, ZHUO Y Q, YANG L G, ZHANG L, YANG X H, YAO Q, JIANG Y M, XU X C. Mercury transformation across particulate control devices in six power plants of China; The co-effect of chlorine and ash composition [J]. Fuel, 2007, 86(4): 603-610.
- [6] 陶叶, 禚玉群, 张亮, 陈昌和, 徐旭常. HCl 与 NO 对汞氧化反应影响的实验研究[J]. 工程热物理学报, 2010, **31**(2): 355-359. (TAO Ye, ZHOU Yu-qun, ZHANG Liang, CHEN Chang-he, XU Xu-chang. Experimental study of the effects of HCl and NO on mercury oxidation[J]. Journal of Engineering Thermophysics, 2010, **31**(2): 355-359.)
- [7] LIU K, GAO Y, KELLIE S, PAN W P, RILEY J T. A study of mercury removal in FBC systems fired with high-chlorine coals [J]. Combust Sci Technol, 2001, 164(1): 145-162.
- [8] CHU P. An assessment of mercury emissions from US coal-fired power plants: CA, 1000608 [P]. 2000-10-10.
- [9] Information collection request for electric utility steam-generating unit Hg emissions information collection effort [Z]. U. S. Environmental Protection Agency, Washington, DC, 1999.
- [10] VIDIC R D, SILER D P. Vapor-phase elemental mercury adsorption by activated carbon impregnated with chloride and chelating agents [J]. Carbon, 2001, 39(1); 3-14.
- [11] CHAO C C, PONTANIO S J. Adsorbents for mercury removal from flue gas: WO, 2006099291A2[P]. 2006-09-21.
- [12] ZENG H C, JIN F, GUO J. Removal of elemental mercury from coal combustion flue gas by chloride- impregnated activated carbon [J]. Fuel, 2004, 83(1): 143-146.
- [13] ZHUANG Y, THOMPSON J S, ZYGARLICKE C J, PAVLISH J H. Impact of calcium chloride addition on mercury transformations and control in coal flue gas[J]. Fuel, 2007, 86(15): 2351-2359.
- [14] 潘卫国,吴江,王文欢,何平,张赢丹,冷雪峰,沈敏强. 添加 NH₄Cl 对煤燃烧生成 Hg 和 NO 影响的研究[J]. 中国电机工程学报, 2009, **29**(29): 41-46.

 (PAN Wei-guo, WU Jiang, WANG Wen-huan, HE Ping, ZHANG Ying-dan, LENG Xue-feng, SHEN Min-qiang. Study on the effect of NH₄Cl addition on Hg and NO produced by coal combustion[J]. Proceedings of the CSEE, 2009, **29**(29): 41-46.)
- [15] 吴怡卫. 石灰石-石膏湿法烟气脱硫废水处理的研究[J]. 中国电力, 2006, **4**(39): 75-78. (WU Yi-wei. Study of limestone-gypsum wet FGD wastewater treatment[J]. Electric Power, 2006, **4**(39): 75-78.)
- [16] 周卫青, 李进. 火电厂石灰石湿法烟气脱硫废水处理方法[J]. 电力环境保护, 2006, **22**(1): 29-31. (ZHOU Wei-qing, LI Jin. Methods to treat waste water from limestone wet flue gas desulfurization in power plant[J]. Electric Power Environmental Protection, 2006, **22**(1): 29-31.)
- [17] 刘建权,赵峰华,刘璟,李建国. 氧弹燃烧-离子色谱法测定煤中氯含量[J]. 分析化学研究报告,2009,37(8):1152-1156. (LIU Jian-quan, ZHAO Feng-hua, LIU Jin, LI Jian-guo. Measurement of the chlorine content in coal with oxygen bomb combustion-ion chromatographic[J]. Chinese Journal of Analytical Chemistry, 2009, 37(8):1152-1156.)
- [18] 唐修义,陈萍. 中国煤中的氯[J]. 中国煤田地质, 2002, 14(B07): 33-36.
 (TANG Xiu-yi, CHEN Ping. Chlorine in coal in China[J]. Coal Geology of China, 2002, 14(B07): 33-36.)
- [19] 况敏,杨国华,胡文佳,陈武军. 燃煤电厂烟气脱汞技术现状分析与展望[J]. 环境科学与技术, 2008, **31**(5): 66-69. (KUANG Min, YANG Guo-hua, HU Wen-jia, CHEN Wu-jun. Analysis and prospect of technology for removing mercury from flue gas[J]. Environmental Science & Technology, 2008, **31**(5): 66-69.)
- [20] 郭少青,杨建丽,刘振宇. 热解气氛对晋城煤中汞析出的影响[J]. 燃料化学学报, 2008, **36**(4): 397-400. (GUO Shao-qing, YANG Jian-li, LIU Zhen-yu. Influence of atmosphere on mercury release during Jin cheng coal pyrolysis[J]. Journal of Fuel Chemistry and Technology, 2008, **36**(4): 397-400.)
- [21] 丘纪华. 煤粉在热分解过程中比表面积和孔隙结构的变化[J]. 燃料化学学报, 1994, **22**(3): 316-319. (QIU Ji-hua. Variation of surface area and pore structure of pulverized coal during pyrolysis[J]. Journal of Fuel Chemistry and Technology, 1994, **22**(3): 316-319.)
- [22] 王明敏, 张建胜, 张守玉. 热解条件下对煤焦比表面积及孔隙分布的影响[J]. 煤炭学报, 2008, **33**(1): 76-79. (WANG Ming-min, ZHANG Jian-sheng, ZHANAG Shou-yu. Effect of pyrolysis conditions on the char surface area and pore distribution[J]. Journal of China Coal Society, 2008, **33**(1): 76-79.)
- [23] 蒋旭光, 徐旭, 严建华, 池涌, 岑可法. 我国煤中氯含量分布特性的试验研究[J]. 煤炭转化, 2001, **24**(2): 58-60. (JIANG Xu-guang, XU Xu, YAN Jian-hua, CHI Yong, Cen Ke-fa. Experimental research of chlorine distribution properties in Chinese coal [J]. Coal Convertion, 2001, **24**(2): 58-60.)